

# 大白鼠心电图的分析

于志铭整理

(苏州医学院生理学教研组)

有关大白鼠心电图的资料，已有一些学者<sup>[1-3,5]</sup>进行过研究，但资料不够全面，结果也不一致，鉴于目前有关学科在实验设计中，倾向于选用小动物作为实验研究对象，且常将心电图作为观察指标之一。为此，我们对大白鼠进行了心电图的描记和分析。

## 方 法

健康大白鼠 50 只，其中雌鼠 18 只，雄鼠 32 只，体重为 171—312 克，平均 221 克。实验前，动物均用乌拉坦轻度麻醉，剂量为每 100 克体重 80 毫克，腹腔注射。实验动物仰卧固定于

实验台上。记录 6 个肢体导联 (I、II、III、aVR、aVL、aVF) 和 3 个心前导联 (V<sub>a</sub>、V<sub>b</sub>、V<sub>c</sub>) 的心电图。肢体导联按人体的传统部位安放。心前导联 V<sub>a</sub> 置于胸骨中点, V<sub>c</sub> 置于胸骨下 1/3 的水平线与左腋前线的交点上, V<sub>b</sub> 置于 V<sub>a</sub> 与 V<sub>c</sub> 连线的中点上。各导联均用针电极刺入皮下, 心前导联约刺入 2 毫米。心电图机是热笔式直接描记型。纸速为 50 毫米/秒。定标电压为 1 毫伏 = 10 毫米。空间向量是根据格兰特 (Grant) 和埃斯蒂斯 (Estes) 法<sup>[4]</sup> 测定的。

## 结 果

50 例大白鼠的心律均为窦性, 心律齐。在轻度麻醉下, 其心率为 286—546 次/分, 平均为 441 次/分。

大白鼠心电图的基本波形与人体相似, 但又有下列重要特征: 1. 各导联记录中均无 S—T 段; 2. 在 T 波比较高大的导联中, T、P 波往往轻度融合而无 T—P 段; 3. 绝大多数记录有 S—T 向量。图 1 为一例大白鼠的正常心电图。

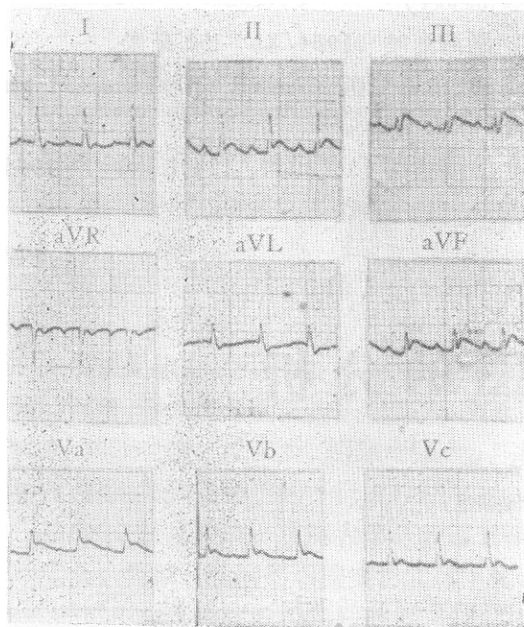


图 1 大白鼠正常心电图

P 波在 II、aVF、aVR 等导联清晰明显。P<sub>II</sub> 均为正向, 电压平均为 0.078 毫伏, 时间平均为 0.019 秒。

各导联的 QRS 波群, 在 aVR 其主波均向下呈 QS、rS 或 Qr 形。aVL、aVR 导联中, 凡呈 QS 波形者均作 Q 波统计处理。其余各导联, 其主波多呈正向。R 或 r 波的出现率, 在 II、aVF、V<sub>a</sub>、V<sub>b</sub>、V<sub>c</sub> 等导联中达 100%; 在 I、III 导联也高达 94% 以上。各导联均可出现 q、S 或 s 波, 但其出现率各不相同 (见表 1)。

值得注意的是, 大白鼠心电图中的 T 波波形与人体相异, 其第一个成分进行较为快速, 故 T 波的前支较陡; 第二个成分进行较为缓慢, 故 T 波的后支较平而逐渐回到基线。T 波前支经历的时间均小于整个 T 波时间的 50%。

50 例大白鼠心电图各波的电压和各有关成分的正常数值分别综合于 (表 1、表 2 和表 3)。

大白鼠心室的复极是紧跟除极过程的。大多数实验记录显示, 在 R 波的降支甚至尚未到达等电位线之前, 便开始复极而出现 T 波。T 波初始部分往往重叠在 QRS 波群的终末部。因此, 所有心电记录中几乎均无 S—T 段。这样就出现了一个没有 S—T 段的 S—T 向量。由于没有 S—T 段, 所以我们是根据 J 点在等电位线上下是否偏移来判断有无 S—T 向量的。实验结果表明, 大多数实验动物的心电图中出现 S—T 向量 (表 4)。

在肢体导联中, J 点在 V<sub>a</sub>、V<sub>b</sub> 一般升高约 0.10—0.25 毫伏, 个别例高达 0.40 毫伏, 但无一例下降; V<sub>c</sub> 的 J 点大部分处于等电位线, 少数例虽有偏移, 但均不超过 0.10 毫伏。

## 讨 论

本实验中, 上述各种心电成分的正常值与李普曼 (Липман)<sup>[3]</sup> 在清醒实验动物身上所得的结果基本一致, 唯一不同点是我们记录的电压较高。由此可见, 乌拉坦轻度麻醉对大白鼠心电图并无重要影响。至于亨德利 (Hundley), 隆巴德 (Lombard), 萨姆比 (Sambhi), 诺曼 (Normann)<sup>[1, 5-7]</sup> 等人的实验数据均低于我们的统计数值, 而且他们彼此之间的差异也很大。不同性别的大白鼠, 心电图中的各种成分无显著

表1 大白鼠肢体导联中Q、R、S各波电压的正常值(毫伏)

项目	Q					
	I	II	III	aVR	aVL	aVF
范 围	0—0.05	0—0.03	0—0.15	0—0.70	0—0.40	0—0.05
均 值	0.007	0.005	0.009	0.442	0.103	0.004
± 标 准 差	0.002	0.009	0.030	0.162	0.104	0.003
出 现 率 (%)	28	28	18	94	70	18

项目	R					
	I	II	III	aVR	aVL	aVF
范 围	0—0.70	0.35—0.95	0—0.85	0—0.80	0—0.50	0.05—0.90
均 值	0.323	0.613	0.326	0.040	0.102	0.460
± 标 准 差	0.152	0.143	0.213	0.129	0.121	0.198
出 现 率 (%)	98	100	94	38	62	100

项目	S					
	I	II	III	aVR	aVL	aVF
范 围	0—0.30	0—0.45	0—0.20	0—0.60	0—0.10	0—0.10
均 值	0.039	0.058	0.025	0.030	0.014	0.013
± 标 准 差	0.052	0.103	0.057	0.122	0.030	0.033
出 现 率 (%)	64	48	20	6	22	16

表2 大白鼠心前导联中Q、R、S各波电压的正常值(毫伏)

项 目	Q			R			S		
	Va	Vb	Vc	Va	Vb	Vc	Va	Vb	Vc
范 围	0—0.02	0—0.10	0—0.15	0.05—1.35	0.05—1.85	0.15—1.2	0—0.30	0.05—0.10	0—0.25
均 值	0.003	0.011	0.014	0.702	0.954	0.605	0.022	0.009	0.039
± 标 准 差	0.009	0.020	0.023	0.403	0.448	0.299	0.022	0.023	0.058
出 现 率 (%)	12	36	54	100	100	100	10	16	48

表3 大白鼠心电图各有关成分的正常值

项 目	心率(分)	P—R 间期(秒)	QRS 时间(秒)	Q—T 间期(秒)	QRS 向量(度)	T 向量(度)	QRS—T 夹角(度)	
							“+”型	“-”型
范 围	286—546	0.030—0.060	0.015—0.025	0.060—0.100	-1—90	6—96	2—60	-2—44
均 值	441	0.047	0.019	0.075	59.4	69.9	15.9	11.8
± 标 准 差	±175	±0.003	±0.002	±0.010	±64.3	±70.7	±14.3	±34.5

注：三例无明显额面T向量，故T向量和QRS—T夹角数值以47例统计。

表4 各导联中J点(S—T向量)偏移率

项 目	I	II	III	aVR	aVL	aVF	Va	Vb	Vc
升 高 (%)	6	28	42	14	6	48	82	58	24
降 低 (%)	24	6	0	16	30	0	0	0	10
等 电 位 线 (%)	70	66	58	70	64	52	18	42	66

差异<sup>[4]</sup>。

在肢体导联中, QRS 的最大空间向量平均为  $59^\circ$ , 大体上与人体相似<sup>[5]</sup>。

从心前导联的波形来看, 无论是  $V_a$ ,  $V_b$  或  $V_c$ , 有 90% 的实验记录, 其 QRS 波群皆以 R 波为主。仅 10% 的记录与人体一样,  $V_a$  呈 rS 波, 自  $V_a$  至  $V_c$ , R 波依次增高, S 波变浅。由此可见, 在心前导联中, QRS 的空间最大向量, 多数大白鼠较人体偏前。

在肢体导联中, T 的最大空间向量平均为  $70^\circ$ 。

根据 QRS 和 T 的最大空间向量测得 QRS-T 夹角属于“+”型者 72%, 平均为  $+15.9^\circ$ ; 属于“-”型者 28%, 平均为  $-11.8^\circ$ 。此数值与人体相似。由于 QRS-T 夹角不大, 所以在肢体导联中, T 波的方向与 QRS 波群的主波也基本上一致。

关于 S-T 向量的问题, 在过去的文献中, 除了 Липман 外, 均未进行讨论。Липман 并不认为在大白鼠心电图中呈现 J 点偏移是 S-T 向量的表现。但根据 J 点偏移的情况来看, 说明在 QRS 向量尚未结束以前就提前产生了 T 向量。这样, QRS 向量环就呈开放式而不能闭合, 在电力中心和 QRS 向量环终点之间必然有一个 S-T 向量。此外, 在实验记录中可看到, J 点在某一导联表现为升高时, 在另一些与该导联相对应的, 方向大致相反的导联上则呈现 J 点降低。由表 4 可见, 在各导联中, J 点在 I, aVL 多表现为降低, 在 II, III, aVF 则多表现为升高,  $V_a$ 、 $V_b$  亦明显升高。据此, 我们认为 J 点的偏移确实是 S-T 向量的表现。根据 J 点在各导联偏移的方向还可估计出, S-T 向量朝向右、前、下方。

J 点升高易于判断。J 点降低而伴有 S 波时, 两者往往易于混淆。此时必须注意与其相对应的导联中 J 点是否升高以及 QRS 波群的时间与其他导联相比是否一致等特征来加以判断。

在大白鼠心电图中 S-T 段缺如与心律无

关。实验证明<sup>[6]</sup>, 即使在心率缓慢时, 同样具有这一特征。

综合大白鼠心电图的各种特征, 该动物作为实验性心电观察对象有其局限性。凡以测定 Q-T 间期和 S-T 向量为主要变化指标的实验设计中, 似不宜选用大白鼠, 但大白鼠心电图的其他成分还是相当稳定而且具有可靠的重复性<sup>[1,3,6,7]</sup>, 因此在一定条件下, 仍然可以考虑将其选作实验性心电观察的对象。

## 总 结

一、在轻度麻醉下, 记录了 50 例大白鼠的心电图。对心电图各波的电压和有关成分进行了统计学处理和分析, 并列表说明。

二、大多数实验例呈现 S-T 向量, 其方向指向右、前、下。

三、肢体导联的 QRS 和 T 的最大空间向量均位于  $0\text{--}90^\circ$  之间, 两者之间的夹角较小。T 波方向与 QRS 波群的主波一致。

四、心电图中的 T、P 波往往轻度融合, S-T 段均缺如, 这使大白鼠作为观察心电变化的实验对象受到一定限制。

## 参 考 文 献

- [1] Hundley, J. M. et al., 1945. Electrocardiogram of rat *AM. J. Physiol.* **144**: 404.
- [2] Antonecchi, E. et al., 1966. The electrocardiogram of the rat, *Arch. Sci.* **50**: 221-33.
- [3] Липман, А. В., С. М. Г. М. Бакман, Яковлев, 1973. Регистрация и оценка ЭКГ у крыс *Патол. Физиол. и Экспер. Тер.* **4**: 83-5.
- [4] Grant, R. P. and E. H. Estes, 1951. Spatial vector Electrocardiography, New York: Blakiston.
- [5] Lombard, E. A. 1952. Electrocardiogram of small animals, *AM. J. Physiol.* **171**: 189.
- [6] Sambhi, M. P. et al., 1960. Electrocardiogram of the normal and hypertensive rat, *Circulation Res.* **8**: 129.
- [7] Normann, S. J. et al., 1961. Electrocardiogram in the normal rat and its alteration with experimental coronary occlusion, *Circulation Res.* **9**: 282-6.
- [8] 黄宛 1975. 临床心电图学。人民卫生出版社。第三版北京。
- [9] Crismon, J. M. 1944. Effect of hypothermia on the heart rate, the arterial pressure and the ECG of the rat, *Arch. Int. Med.* **74**: 235.